

- Un mezzo dielettrico n' ha carattere se le sue proprietà ottiche macroscopiche dipendono dalla direzione -
- Ordinamento microscopico di materiali isotropi e anisotropi

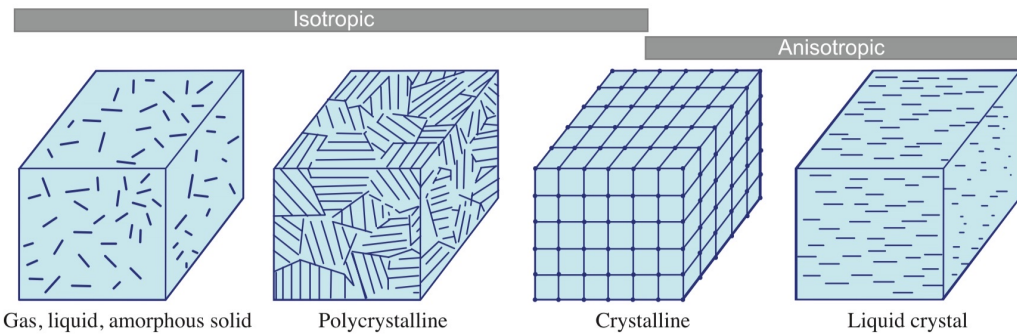


Figure 6.3-1 Positional and orientational order in different types of materials.

BRUNO SARTORI - TEACH
FUNDAMENTALS OF ELECTROMAGNETICS
MAY 2023

- Per un mezzo dielettrico anisotropo lineare n' ha

$$D_i = \sum_j \epsilon_{ij} E_j \quad i,j = 1,2,3 \text{ oppure } x,y,z$$

spostamenti elettrici

Q. come sottrarre

$$\boldsymbol{\Sigma} = \begin{pmatrix} \epsilon_{11} & \epsilon_{12} & \dots \\ \vdots & \ddots & \epsilon_{23} \end{pmatrix}$$

è il tensore permeabilità dielettrica

In forma simbolica la relazione costitutiva si scrive

$$D = \boldsymbol{\Sigma} E$$

- Per la maggior parte dei materiali il tensore $\boldsymbol{\Sigma}$ è simmetrico $\epsilon_{ij} = \epsilon_{ji} \Rightarrow$ il rapporto tra D ed E è inverso se le loro direzioni sono scambiate.
- In generale i materiali non-magnetici che non presentano ottica ottica godono di questa simmetria
- Se $\epsilon_{ij} = \epsilon_{ji} \Rightarrow \boldsymbol{\Sigma}$ ha solo 6 componenti indipendenti

• Rappresentazione geometrica di vettori e tensori

• SCALAR 1 NUMBER TENSOR DI RANGO 0

VETTORE

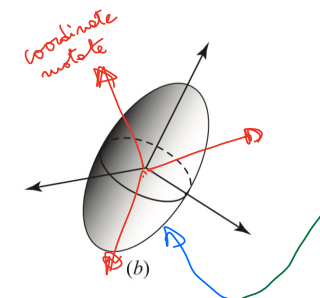
Describe una
grandezza finita
dotata di modulo,
direzione e verso

3 NUMERI

TENSOR DI RANGO 1

TENSOR DI RANGO 2 → ESPRIME LA RELAZIONE TRA DUE VETTORI

- In un dato sistema di coordinate è rappresentato da 9 numeri. Questi vengono re in comune sistema di coordinate, ma la natura finita delle relazioni espresse dal tensore non comune -
- Se il tensore di rango 2 è simmetrico ha solo 6 componenti indipendenti (ϵ ad esempio) e può rappresentar con un ellissoide definito da



Da Slichter - Biscott
PRINCIPLES OF POLYMERS
WILEY, 2013

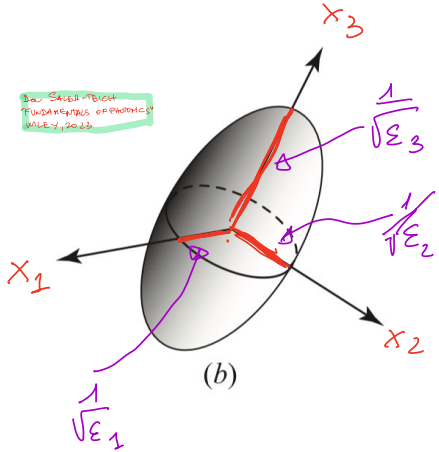
$$\sum_{ij} \epsilon_{ij} x_i x_j = 1 \quad j=1,2,3 \text{ oppure } x_1 x_2 x_3$$

TENSOR SIMMETRICO

superficie quadratica "invariante": se si muove il sistema di coordinate vengono re ϵ_{ij} ma x_j , ma le giaciture vello specie delle superficie rimane invariante

- L'ellissoide ha 6 gradi di libertà (gli ϵ_{ij}) e contiene tutta l'informazione contenuta anche nel tensore -
- Esiste un sistema di coordinate in cui ϵ è diagonale, detto "sistema principale" e l'equazione dell'ellissoide è

$$\epsilon_1 x_1^2 + \epsilon_2 x_2^2 + \epsilon_3 x_3^2 = 1 \quad x_1 x_2 x_3 \equiv \begin{matrix} \text{ASSI} \\ \text{PRINCIPALI} \end{matrix}$$



Ellissoidale nel sistema di coordinate principale dove il tensore permeabilità elettrica ϵ è diagonale -

Se ci mettiamo in un sistema di coordinate in cui il tensore permeabilità elettrica ϵ è diagonale abbiamo

$$D_1 = \epsilon_1 E_1 \quad D_2 = \epsilon_2 E_2 \quad D_3 = \epsilon_3 E_3$$

ove $\epsilon_1 = \epsilon_{xx}$, $\epsilon_2 = \epsilon_{yy}$ ed $\epsilon_3 = \epsilon_{zz}$.

- In questo sistema gli assi coordinate sono gli principali e lungo le loro direzioni D ed E sono paralleli. D'ora in poi useremo sempre il sistema degli assi principali.

$$n_1 = \sqrt{\frac{\epsilon_1}{\epsilon_0}} \quad n_2 = \sqrt{\frac{\epsilon_2}{\epsilon_0}} \quad n_3 = \sqrt{\frac{\epsilon_3}{\epsilon_0}}$$

indici di rifrazione principali -

$n_1 \neq n_2 \neq n_3 \Rightarrow$ CRISTALLI PIASSICI

$n_1 = n_2 \neq n_3 \Rightarrow$ CRISTALLI UNIASSICI

Di solito si scrive $n_1 = n_2 = n_0$ "indice ordinario"

$n_3 = n_e$ "indice strordinario"

Se $n_e > n_0 \Rightarrow$ UNIASSICO POSITIVO

$n_e < n_0 \Rightarrow$ UNIASSICO NEGATIVO

L'asse $z = x_3$ è chiamato ASSE OTICO

Se $n_1 = n_2 = n_3$ il vetro è isotropo

• La relazione $D = \epsilon E$ può essere invertita $E = \epsilon^{-1} D$

e si può definire il tensore impedenza $\eta = \epsilon \epsilon^{-1}$,

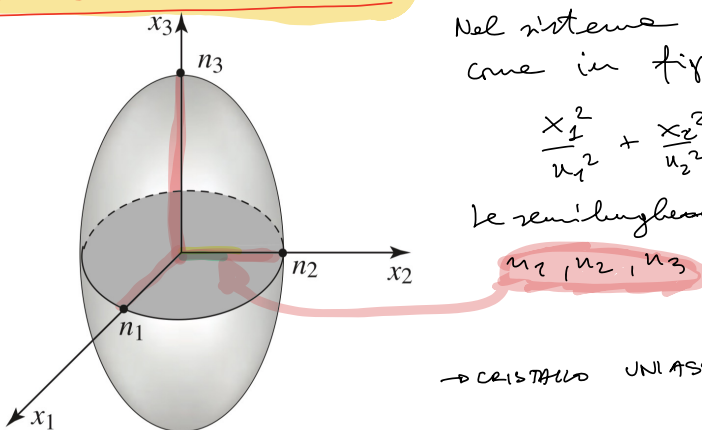
quindi $\epsilon_0 E = \eta D$

• Se ϵ è simmetrico lo è anche η e gli assi principali sono gli assi. Nel sistema principale è diagonale

$$\eta = \begin{pmatrix} \epsilon_{01}/\epsilon_1 & 0 & 0 \\ 0 & \epsilon_{02}/\epsilon_2 & 0 \\ 0 & 0 & \epsilon_{03}/\epsilon_3 \end{pmatrix} = \begin{pmatrix} \frac{1}{n_1^2} & 0 & 0 \\ 0 & \frac{1}{n_2^2} & 0 \\ 0 & 0 & \frac{1}{n_3^2} \end{pmatrix}$$

η oppure ϵ
descrivono
completamente
le proprietà del
cristallo

ELLISSOIDE DEGLI INDICI



Nel sistema degli assi principali come in figura

$$\frac{x_1^2}{n_1^2} + \frac{x_2^2}{n_2^2} + \frac{x_3^2}{n_3^2} = 1$$

Le semidiametri degli assi sono

n_1, n_2, n_3
 → CERCHIO UNIASSISTICO → ellissoide di rotazione
 → MEZZO ISOTROPICO → sfera

PROPAGAZIONE LUNGO UN ASSE PRINCIPALE

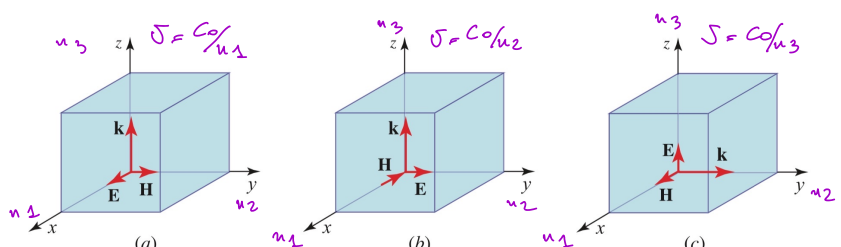


Figure 6.3-4 A wave traveling along a principal axis and polarized along another principal axis has phase velocity c_o/n_1 , c_o/n_2 , or c_o/n_3 , when the electric-field vector points in the x , y , or z directions, respectively. (a) $k = n_1 k_o$; (b) $k = n_2 k_o$; (c) $k = n_3 k_o$.

I modi normali per le propagazioni lungo Z sono onde polarizzate linearmente nelle direzioni x e y

Polarizzazione in direzione arbitraria

- Supponiamo che l'onda si propaghi lungo un'asse principale, ed esempio \hat{z} e che sia linearmente polarizzata nel piano $x-y$
- Si considera l'onda come una sovrapposizione di due modi normali, cioè le polarizzazioni lungo x ed y
 - Componente $x \rightarrow$ viaggia con $\beta_x = \frac{c_0}{n_1} \Rightarrow \varphi_x = n_1 k_0 d$
 - Componente $y \rightarrow$ viaggia con $\beta_y = \frac{c_0}{n_2} \Rightarrow \varphi_y = n_2 k_0 d$
- Si genera quindi un ritardo di fase $\varphi = \varphi_y - \varphi_x = (n_2 - n_1) k_0 d$
e quindi l'onda in uscita è polarizzata ellitticamente

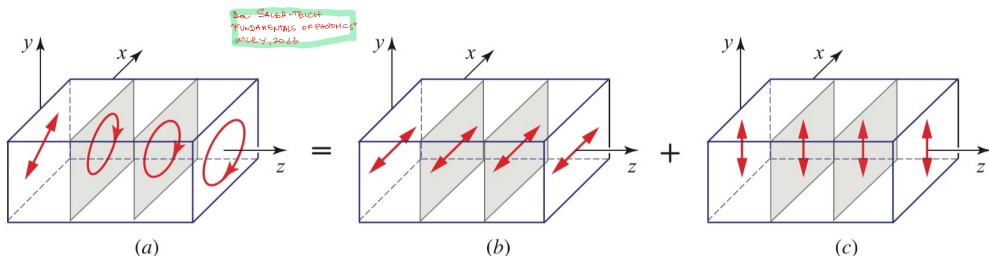


Figure 6.3-5 A linearly polarized wave at 45° in the $z = 0$ plane (a) is analyzed as a superposition of two linearly polarized components in the x and y directions (normal modes), which travel at velocities c_0/n_1 and c_0/n_2 [(b) and (c), respectively]. As a result of phase retardation, the wave is converted from plane polarization to elliptical polarization (a). It is therefore clear that the initial linearly polarized wave is not a normal mode of the system.

PROPAGAZIONE LUNGO UNA DIREZIONE ARBITRARIA

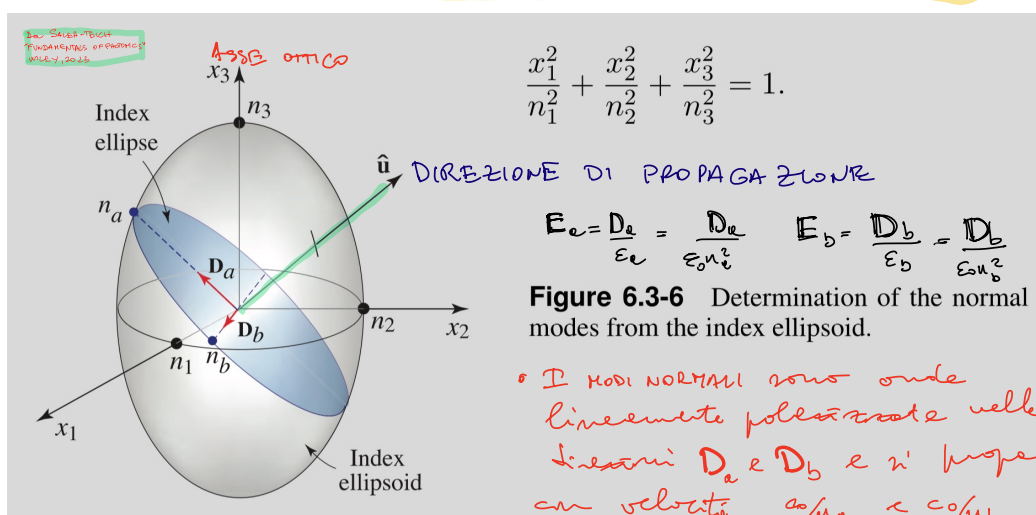
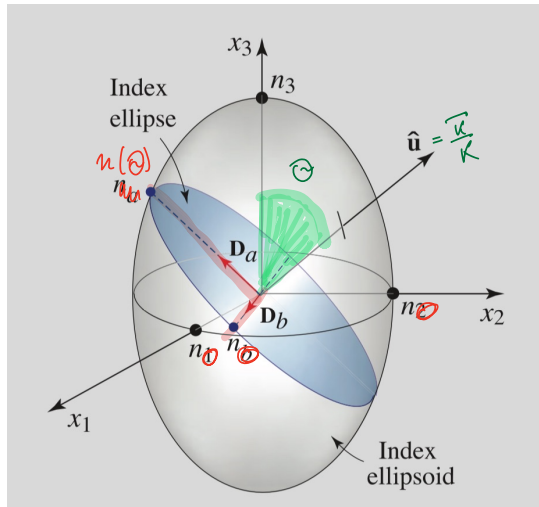


Figure 6.3-6 Determination of the normal modes from the index ellipsoid.

CRISTALLI UNIASICI

- Dei cristalli uniasici l'ellissoide degli indici è un ellissoide di rotazione - ($n_1 = n_2 = n_0$ e $n_3 = n_e$)
- Se l'onda forma un angolo Θ con l'asse ottico, i valori dell'ellisse degli indici sono n_0 e $n(\Theta)$



Per trovare $n(\Theta)$ si pre

$$x_1 = n(\Theta) \cos \Theta$$

$$x_2 = 0$$

$$x_3 = -n(\Theta) \sin \Theta$$

nell'equazione

$$\frac{x_1^2}{n_0^2} + \frac{x_2^2}{n_0^2} + \frac{x_3^2}{n_e^2} = 1$$

e si ottiene

$$\frac{\cos^2 \Theta}{n_0^2} + \frac{\sin^2 \Theta}{n_e^2} = \frac{1}{n^2(\Theta)}$$

- Quindi i due modi normali sono

ONDA ORDINARIA $\rightarrow n = n_0$ Il vettore D è \perp al piano $\hat{z}-\hat{k}$

E e D non paralleli \oplus

ONDA STRAORDINARIA $\rightarrow n = n(\Theta)$

Vediamo che

$$n(\Theta) = n_0 \text{ e}$$

$$n(90^\circ) = n_e$$

D è \perp \hat{k} e giace

nel piano $\hat{z}-\hat{k}$

E e D non paralleli $(*)$

$$\textcircled{*} \quad \vec{D}_o = D_x \hat{x} + D_y \hat{y} \quad D_x = \epsilon_{xx} E_x \quad \text{e} \quad D_y = \epsilon_{yy} E_y, \text{ ma } \epsilon_{xx} = \epsilon_{yy}$$

$$\text{per cui } \vec{D}_o = \epsilon_{xx} E_x \hat{x} + \epsilon_{yy} E_y \hat{y} = \epsilon_{xx} \vec{E}$$

$$\textcircled{**} \quad \vec{D}_e = D_x \hat{x} + D_y \hat{y} + D_z \hat{z} = \epsilon_{xx} E_x \hat{x} + \epsilon_{yy} E_y \hat{y} + \epsilon_{zz} E_z \hat{z} \neq \epsilon_{xx} \vec{E}$$

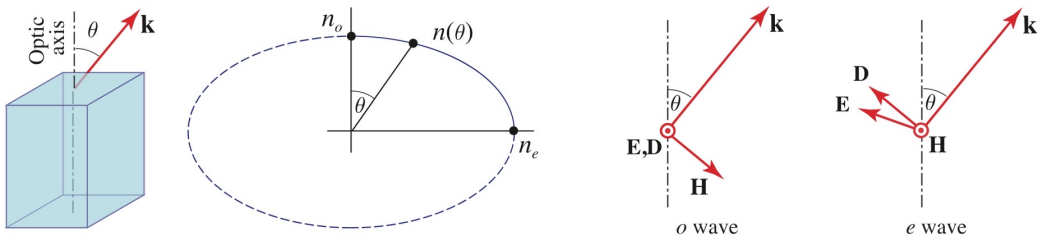


Figure 6.3-7 Variation of the refractive index $n(\theta)$ of the extraordinary wave with θ (the angle between the direction of propagation and the optic axis) in a uniaxial crystal, and directions of the electromagnetic fields of the ordinary (o) and extraordinary (e) waves. The circle with a dot at the center located at the origin signifies that the direction of the vector is out of the plane of the paper, toward the reader.

Das SÄUER-BUCH
FUNDAMENTALS OF PHOTONICS
WILEY, 2023

Relazione di dispersione, fronti d'onda e trasporto di energia

- L'onda è caratterizzata dai vettori
 \vec{k} → vettore d'onda
 $\vec{E}, \vec{D}, \vec{H} \text{ e } \vec{B}$ → vettori di campo
 $\vec{S} = \frac{1}{2} \vec{E} \times \vec{H}^*$ → vettore di Poynting complesso

Vale $\vec{k} \times \vec{H} = -\omega \vec{D}$ $\vec{D} \perp \vec{o}$ e \vec{k} ed \vec{H}
 $\vec{k} \times \vec{E} = \mu \omega \vec{H}$ $\vec{H} \perp \vec{o}$ e \vec{k} ed \vec{E}

Assumendo onde piane del tipo $e^{i(\vec{k} \cdot \vec{r})} e^{-i\omega t}$ le equazioni di Maxwell $\nabla \times \vec{H} = \frac{\partial \vec{D}}{\partial t}$ e $\nabla \times \vec{E} = -\frac{\partial \vec{B}}{\partial t}$ diventano quelle sopra

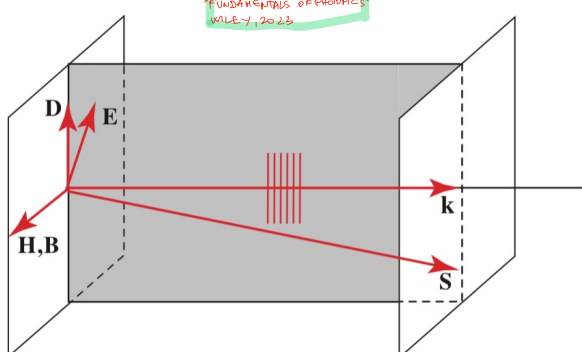


Figure 6.3-8 The vectors D , E , k , and S all lie in a single plane, to which H and B are normal. Also $D \perp k$ and $E \perp S$. The wavefronts are orthogonal to k .

Das SÄUER-BUCH
FUNDAMENTALS OF PHOTONICS
WILEY, 2023

Da $\vec{R} \times \vec{A} = -\omega \vec{D}$ sostituendo $\vec{R} \times \vec{E} = \omega \mu \vec{H}$ si ha

$$\vec{R} \times (\vec{R} \times \vec{E}) = -\omega^2 \mu \vec{D} \Rightarrow \vec{R}(\vec{R} \times \vec{E}) + \omega^2 \mu \vec{E} = 0$$

Si ri scrive questa equazione usando le componenti di \vec{R} ed \vec{E} lungo gli assi principali (qui E è diagonale) si ottiene un sistema di equazioni lineari omogenee per le tre componenti di \vec{E} :

$$\begin{bmatrix} n_1^2 k_0^2 - k_2^2 - k_3^2 & k_1 k_2 & k_1 k_3 \\ k_2 k_1 & n_2^2 k_0^2 - k_1^2 - k_3^2 & k_2 k_3 \\ k_3 k_1 & k_3 k_2 & n_3^2 k_0^2 - k_1^2 - k_2^2 \end{bmatrix} \begin{bmatrix} E_1 \\ E_2 \\ E_3 \end{bmatrix} = \begin{bmatrix} 0 \\ 0 \\ 0 \end{bmatrix}$$

M

$$\vec{R} = (k_1, k_2, k_3)$$

- De sistema ha soluzioni non banali quando $\det M = 0$, che dà

$$\sum_{j=1,2,3} \frac{k_j^2}{k^2 - n_j^2 k_0^2} = 1$$

$k^2 = k_1^2 + k_2^2 + k_3^2$
 $k_0 = \omega / \epsilon_0$

RELATIÖN DI DISPERSIONE

corrisponde all'equazione di una sfera

$$k = \frac{\omega}{c_0}$$

n_1, n_2, n_3 sono gli indici di rifrazione principali

$$\omega = \omega(k_1, k_2, k_3) \text{ nella sfera } (k_1, k_2, k_3)$$

SUPERFICIE NORMALE O
SUPERFICIE K

- La superficie K è centrosimmetrica ed consiste di due fogli, ciascuno coniugante ad una soluzione, cioè ad un modo normale -
- La superficie K interseca ciascuno dei piani principali in un ellisse ed in un cerchio

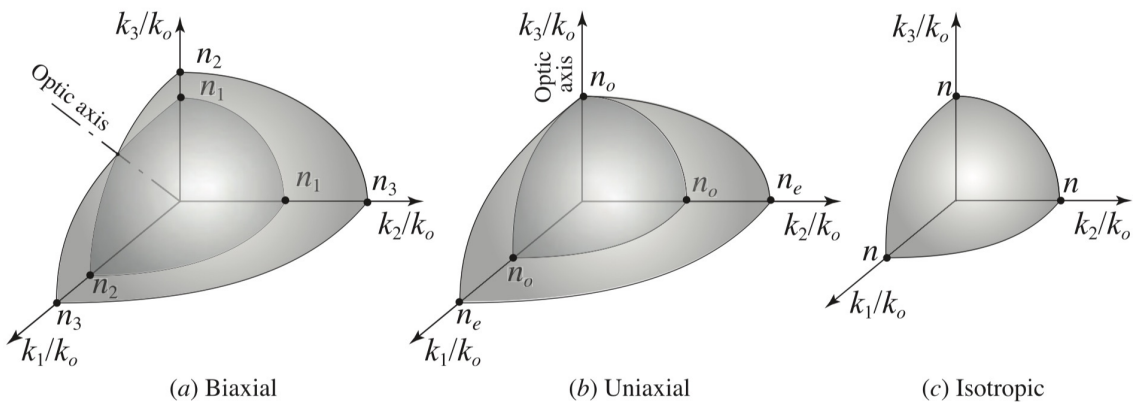
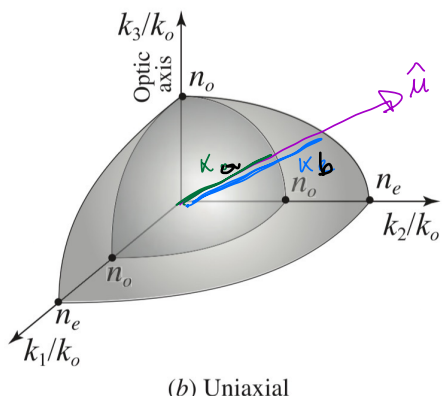


Figure 6.3-9 One octant of the \mathbf{k} surface for (a) a biaxial crystal ($n_1 < n_2 < n_3$); (b) a uniaxial crystal ($n_1 = n_2 = n_o$, $n_3 = n_e$); and (c) an isotropic crystal ($n_1 = n_2 = n_3 = n$).

SIGNIFICATO FISICO DELLA SUPERFICIE $K \Rightarrow$ PROPRIETÀ DEI MODI NORMALI

- La superficie K , analogamente all'ellissoidale degli indici, può essere rotata per determinare i modi normali relativi ad una certa direzione di propagazione e anche le loro proprietà.

INDICI DI RIFRAZIONE



$$K_a = \frac{n_{ow}}{c_0} \quad K_b = \frac{n_{bw}}{c_0}$$

$$\sum_{j=1,3} \frac{k_j^2}{k^2 - n_j^2 k_o^2} = 1 \Rightarrow \sum_{j=1,2,3} \frac{\mu_j^2 k^2}{k^2 - n_j^2 k_o^2} = 1$$

- L'interazione di una lente sottile è di propagare con i segni delle superficie K è un punto che dà $K = \frac{n_w}{c_0}$ dell'angolo, dove w è l'indice di rifrazione corrispondente.
- Le due interazioni corrispondono ai due numeri d'onda ed ai due indici di rifrazione dei due modi normali.

• Dato un vettore $\vec{K} = (K_1, K_2, K_3)$ si definisce $\vec{\mu}$, anche $\vec{\mu} = (\mu_1 K, \mu_2 K, \mu_3 K)$ che compare nello stesso nell'equazione per la superficie K

- Equazione di 4° grado in K che ammette 4 soluzioni, $+K_a$ e $+K_b$, delle quali teniamo solo $+K_a$ e $+K_b$, visto che quelle negative corrispondono ad una soluzione di propagazione invertita.
- Trovate le K_a e K_b il problema è risolto: K_a e K_b sono i numeri d'onde dei modi normali con corrispondenti indici di rifrazione $n_a = \frac{c_0 K_a}{\omega}$ e $n_b = \frac{c_0 K_b}{\omega} = \frac{K_b}{K_a}$

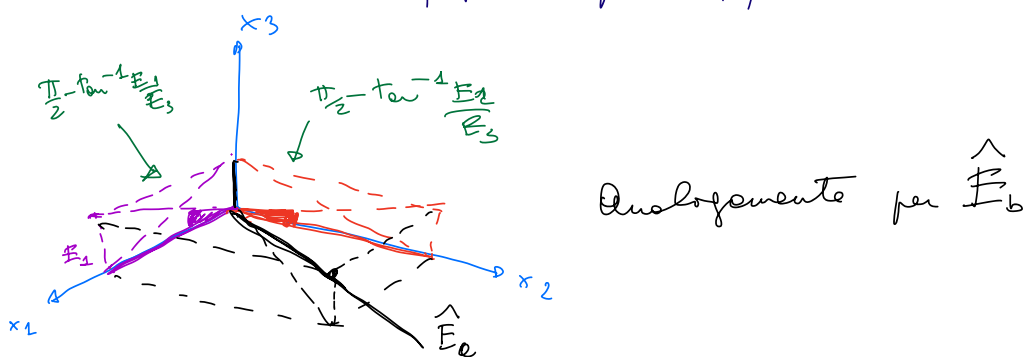
POLARIZZAZIONE

Per trovare la direzione di polarizzazione dei due modi normali si pone nelle componenti $(K_1, K_2, K_3) = (\mu_1 K, \mu_2 K, \mu_3 K)$ dove sostituisco μ una volta K_a ed una volta K_b . Da queste componenti si determinano gli elementi della matrice

$$\begin{bmatrix} \mu_1^2 K^2 - K_2^2 - K_3^2 & K_1 K_2 & K_1 K_3 \\ K_2 K_1 & \mu_2^2 K^2 - K_1^2 - K_3^2 & K_2 K_3 \\ K_3 K_1 & K_3 K_2 & \mu_3^2 K^2 - K_1^2 - K_2^2 \end{bmatrix}$$

M

e si risolvono le tre 3 equazioni del sistema lineare per trovare $\frac{\vec{E}_1}{E_3}$ ed $\frac{\vec{E}_2}{E_3}$ da cui si ricava la direzione di \vec{E}_a e, ponendo per $K = K_b$, anche di \vec{E}_b .



VELOCITÀ DI GRUPPO

Picchetti d'onda o impulsi $\rightarrow \vec{S}_g = \frac{d\omega}{dk}$ (dominio del tempo)

Per analogia

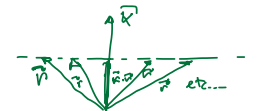
Raggi o picchetti d'onda spaziali $\rightarrow \vec{T}_g = \nabla_k \omega(k)$

\vec{R} parallelo alla
superficie K

Dato che la superficie K è quella superficiale per cui $\omega(k_1, k_2, k_3) = \text{costante}$ allora \vec{T}_g deve essere \perp alla superficie K \Rightarrow i raggi si propagano \perp alla superficie K

I fronti d'onda, invece, sono \perp al vettore \vec{k} perché le forze dell'onda è $\vec{R} \cdot \vec{v}$, cioè le normali ai fronti d'onda sono \parallel al vettore \vec{k} .

④ Il fronte d'onda è definito da $\vec{k} \cdot \vec{r} = \text{costante}$. Quanto vuol dire che per i punti sul fronte d'onda la proiezione di \vec{R} su \vec{k} è costante, cioè \vec{R} proietta su piano \perp a \vec{k}

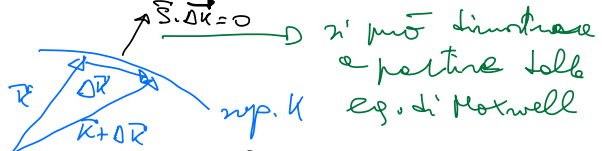


TRASPORTO DI ENERGIA

Il vettore di Poynting complesso è pure \perp alla superficie K.

$$\vec{S} = \frac{1}{2} \vec{E} \times \vec{H}^*$$

$\Rightarrow \vec{S}$ è parallelo allo stesso vettore di gruppo \vec{T}_g



RAGGI OTTICI

Se la superficie K è una sfera (come nei microscopi), \vec{k}, \vec{S} e \vec{T}_g sono paralleli, cioè:

Das Fachbuch für
FUNDAMENTALS OF OPTICS
WILEY 2003

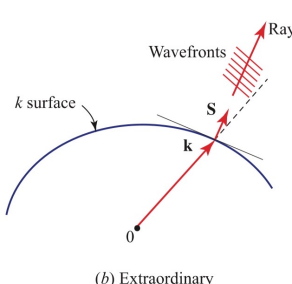
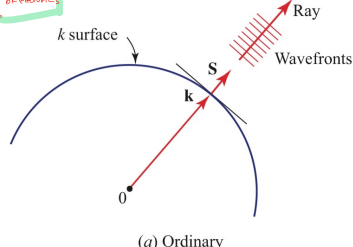


Figure 6.3-10 Rays and wavefronts for (a) a spherical K surface, and (b) a nonspherical K surface.

i raggi sono paralleli, cioè:
i raggi sono \parallel al vettore
d'onda e l'energia
fluisce nella medesima
direzione - (a)

• Se la superficie K non è \perp al
vettore \vec{k} , per esempio se è ellittica
come in (b), allora i raggi e
la direzione di flusso dell'energia
non sono \perp ai fronti d'onda.

I raggi hanno le proprietà
"extraordinarie" e i raggi
sono angoli obliqui rispetto ai fronti d'onda.

CASO DEI CRYSTAL UNIASIALI

Se $n_1 = n_2 = n_o$ e $n_3 = n_e$, l'equazione $\sum_{j=1,2,3} \frac{k_j^2}{k^2 - n_j^2 k_o^2} = 1$ per le superficie k si semplifica e si può risolvere con

$$(k^2 - n_o^2 k_o^2) \left(\frac{k_1^2 + k_2^2}{n_e^2} + \frac{k_3^2}{n_o^2} - k_o^2 \right) = 0$$

Queste equazioni ha due soluzioni:

i) $k^2 - n_o^2 k_o^2 = 0 \Rightarrow k = n_o k_o = \text{costante} \Rightarrow \text{onda normale}$

ii) $\frac{k_1^2 + k_2^2}{n_e^2} + \frac{k_3^2}{n_o^2} - k_o^2 = 0 \Rightarrow \frac{k_1^2 + k_2^2}{n_e^2} + \frac{k_3^2}{n_o^2} = k_o^2 \Rightarrow \text{ellisside di rotazione}$

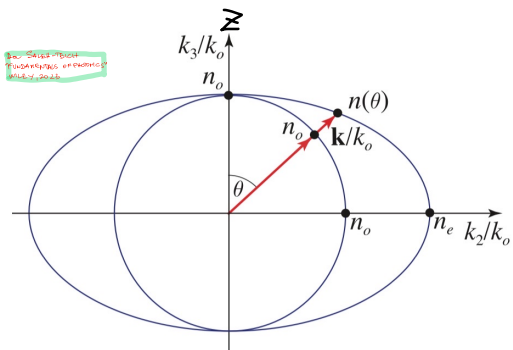


Figure 6.3-11 Intersection of the k surfaces with the y - z plane for a positive uniaxial crystal ($n_e > n_o$).

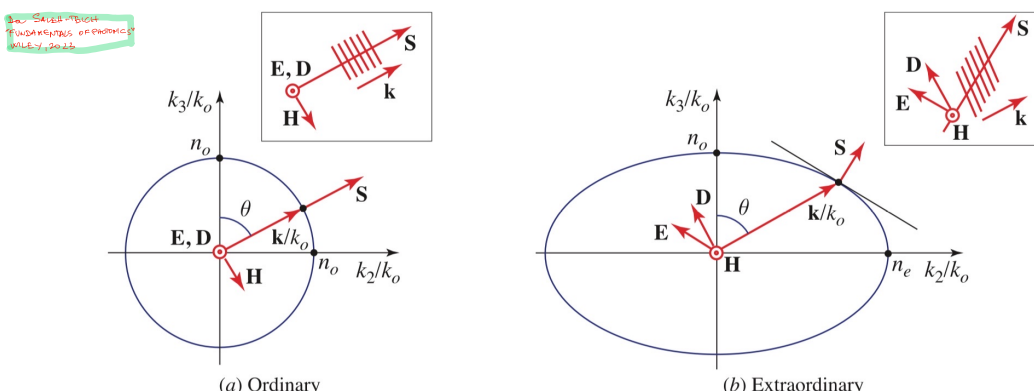


Figure 6.3-12 The normal modes for a plane wave traveling in a direction k that makes an angle θ with the optic axis z of a uniaxial crystal are: (a) An ordinary wave of refractive index n_o polarized in a direction normal to the k - z plane. (b) An extraordinary wave of refractive index $n(\theta)$ [given by (6.3-15)] polarized in the k - z plane along a direction tangential to the ellipse (the k surface) at the point of its intersection with k . This wave is “extraordinary” in the following ways: D is not parallel to E but both lie in the k - z plane, and S is not parallel to k so that power does not flow along the direction of k ; the rays are therefore not normal to the wavefronts so that the wave travels “sideways.”

BIRIFRAZIONE → DOPPIA RIFRAZIONE

ONDE PIANE

- Consideriamo la rifrazione di un'onda piana all'interfaccia tra un mezzo isotropo (per es. aria con $n=1$) ed uno anisotropo.
- Principio base: i fronti d'onda delle onde incidente e rifratta devono essere in corrispondenza all'interfaccia.
- Dato che il mezzo anisotropo supporta tre distinti modi con diversi indici di rifrazione, un'onda incidente genererà tre onde riflesse con diverse frequenze e diverse polarizzazioni.
- Le corrispondenze dei fronti d'onda all'interfaccia richiede che sia soddisfatta la legge di Snell

$$K_0 \sin \Theta_1 = K \sin \Theta$$

↑
incidente refrattore

Se il mezzo in cui si incide è anisotropo $K = n(\Theta)K_0$, cioè K è funzione di Θ , quindi la

legge di Snell diventa $K_0 \sin \Theta_1 = n(\Theta_e + \Theta) K \sin \Theta$

$$\sin \Theta_1 = n(\Theta_e + \Theta) \sin \Theta$$

ove Θ_e è l'angolo tra l'asse ottico e la normale alle superficie di interfaccia. La legge di Snell con $K = k(\Theta)$ non coinvolge specificamente. Facciamo l'esempio del cristallo uniaxiale.

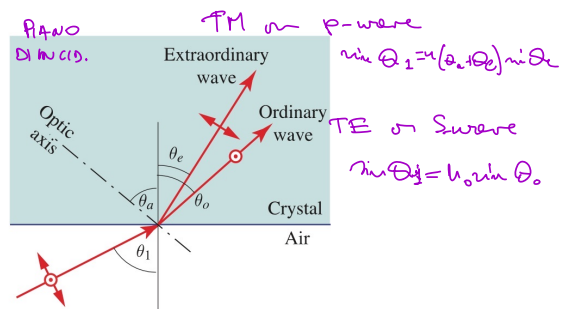
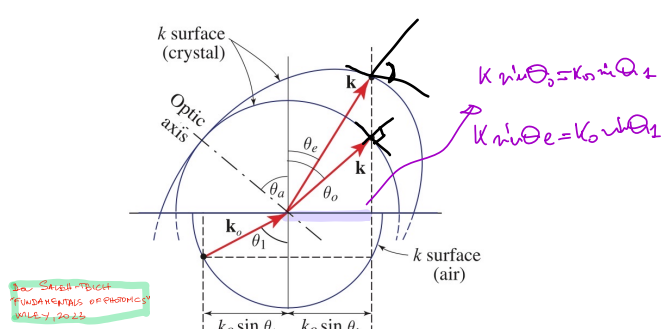


Figure 6.3-13 Determination of the angles of refraction by matching projections of the k vectors in air and in a uniaxial crystal.

RAGGI

- In un mezzo anisotropo non è detto che i raggi si propagino in direzione normale ai punti di traiettoria.

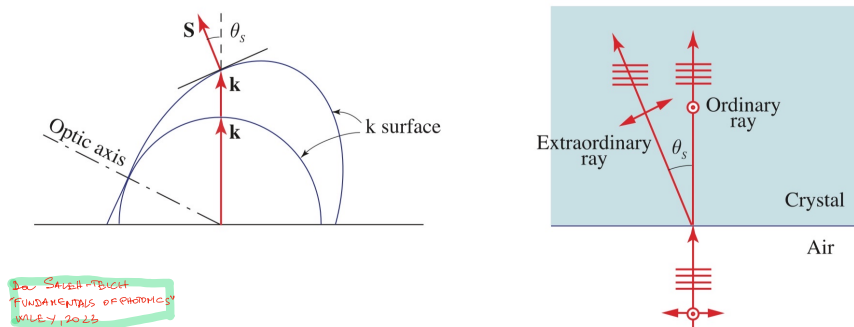


Figure 6.3-14 Double refraction at normal incidence.

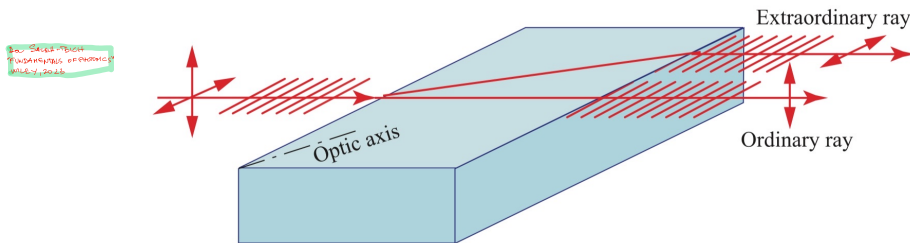
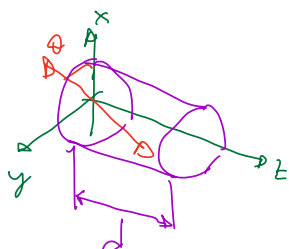


Figure 6.3-15 Double refraction through an anisotropic plate. The plate serves as a polarizing beamsplitter.

ATTIVITÀ OTTICA ED EFFETTO FARADAY

- Alcuni materiali, detti otticamente ottici, hanno la proprietà di agire come rotatori della polarizzazione.
 - I loro modi normali sono onde RCP e LCP, invece che onde linearmente polarizzate, che viaggiano con differenti velocità di fase.
 - Potremo $n_+ \rightarrow$ indice di rifrazione per l'onda RCP
 $n_- \rightarrow$ indice di rifrazione per l'onda LCP
- le corrispondenti velocità di fase sono $v_+ = \frac{c_0}{n_+}$ e $v_- = \frac{c_0}{n_-}$

- Possiamo un'onda polarizzata linearmente ad un angolo θ in l'asse x ed sproporzionale alla lunghezza di polarizzazione circolare (unendo i vettori di Jones)



$$\begin{bmatrix} \cos \theta \\ \sin \theta \end{bmatrix} = \frac{1}{2} e^{-i\phi} \begin{bmatrix} 1 \\ i \end{bmatrix} + \frac{1}{2} e^{i\phi} \begin{bmatrix} 1 \\ -i \end{bmatrix}$$

- Se l'onda si propagga attraverso uno spessore d di materiale otticamente attivo, le onde RCP e LCP acquisiscono la fase

$$\varphi_{\pm} = \frac{2\pi n_{\pm} d}{\lambda_0} \quad (+ \rightarrow \text{RCP}) \quad (- \rightarrow \text{LCP})$$

quindi

$$\frac{1}{2} e^{-i(\theta-\varphi_+)} \begin{bmatrix} 1 \\ i \end{bmatrix} + \frac{1}{2} e^{i(\theta-\varphi_-)} \begin{bmatrix} 1 \\ -i \end{bmatrix} = \frac{1}{2} \begin{bmatrix} e^{-i(\theta-\varphi_+)} \\ i e^{-i(\theta-\varphi_+)} \end{bmatrix} + \frac{1}{2} \begin{bmatrix} e^{i(\theta-\varphi_-)} \\ i e^{i(\theta-\varphi_-)} \end{bmatrix} \quad (*)$$

Poniamo $\varphi = \varphi_- - \varphi_+$ $\Rightarrow \varphi + 2\varphi_0 = 2\varphi_- \Rightarrow \varphi_- = \frac{\varphi}{2} + \varphi_0$
 $2\varphi_0 = \varphi_+ + \varphi_- \quad \Rightarrow \quad \varphi - 2\varphi_0 = -2\varphi_+ \Rightarrow \varphi_+ = \frac{\varphi}{2} + \varphi_0$

segue $e^{i(\theta-\varphi_+)} = e^{i(\theta-\varphi_0 + \varphi_0)} = e^{-i\varphi_0} e^{i(\theta+\varphi_0)}$
 $e^{i(\theta-\varphi_-)} = e^{i(\theta+\varphi_0 - \varphi_0)} = e^{i\varphi_0} e^{i(\theta-\varphi_0)}$

in definitiva l'espressione (*) vale

$$e^{-i\varphi_0} \begin{bmatrix} \cos(\theta-\varphi_0) \\ \sin(\theta-\varphi_0) \end{bmatrix}$$

che, a parte una fase comune,

rappresenta un'onda linearmente polarizzata rotata di un angolo $\varphi_0 = \frac{\pi(n_- - n_+)d}{\lambda_0}$ rispetto alla polarizzazione iniziale.

be grandmo

$$\rho = \frac{\pi(u_+ - u_-)}{x_0}$$

si chiedono potere votatorio -

→ la direzione in cui nello spazio il piano di polarizzazione è dato dalla componente circolaremente polarizzata che ha l'indice di rifrazione minore (maggiore velocità di luce)

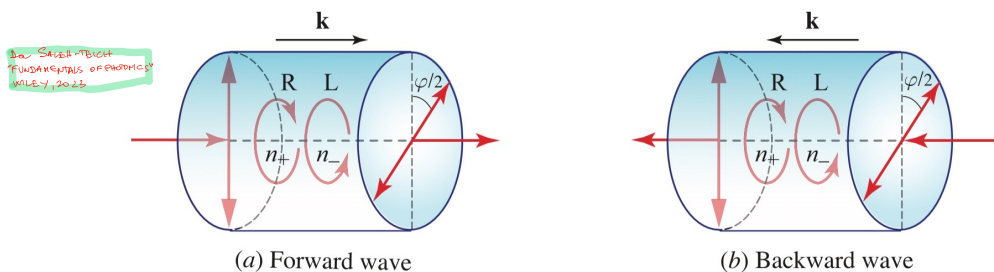
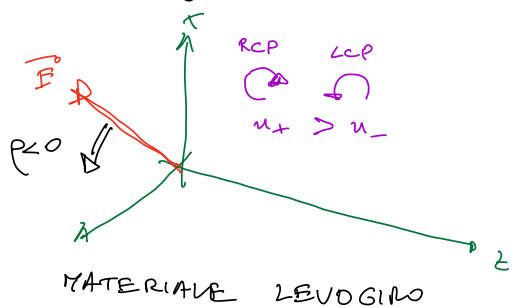
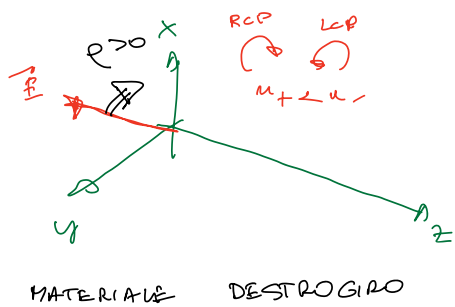


Figure 6.4-1 (a) The rotation of the plane of polarization by an optically active medium results from the difference in the velocities for the two circular polarizations. In this illustration, the right circularly polarized wave (R) is faster than the left circularly polarized wave (L), i.e., $n_+ < n_-$, so that ρ is positive and the material is dextrorotatory. (b) If the wave in (a) is reflected after traversing the medium, the plane of polarization rotates in the opposite direction so that the wave retraces itself.

- Nominalmente l'otturato slice riscontra in meno che abbiano una struttura microscopica tipica elaborata -
Esempio

Enigma: Se, Te, TeO_2 , quarto intense inorganiche

zuccheri, ammucchiati
 su base organica
 su tutto le soglie
 hanno entrambe le
 forme:
 glucosio → lactosio
 fruttosio → levosio

- Per minimizzare la concentrazione di zuccheri di una soluzione si minima l'attività osmotica (recalcolando)

Equazioni costitutive

Il campo magnetico \vec{B} e' ^{int} di un'onda luminosa che incide su un materiale o struttura elicidale, induce una corrente, che a sua volta induce una polarizzazione elettrica:

$$\text{Polarizzazione} \propto \frac{\partial \vec{B}}{\partial t} = i\omega \vec{B} = -\vec{\nabla} \times \vec{E}$$

R. eq. di Maxwell

Segue che le relazioni tra \vec{D} ed \vec{E} non sono locali, cioè $\vec{D}(r)$ dipende da $\vec{E}(r')$, ma anche dai punti r' situati intorno a r che servono per poter fare le derivate spaziali contenute in $\vec{\nabla} \times \vec{E}(r)$.

Per un'onda planare $\vec{\nabla} \times \vec{E} = -i\vec{k} \times \vec{E}$ quindi in definitiva

$$\vec{D} = \epsilon \vec{E} + i\epsilon_0 \vec{k} \times \vec{E}$$

\uparrow

rispetto di un
vettore intorno
a cui segue l'ipotesi
della dirittà del
vettore di coordinate

equazione costitutiva in
un vettore otticamente
attivo

→ Pseudoscalare: scalare che cambia segno quando si invertono gli assi coordinati, cioè non fa parte di un vettore

- la relazione di cui sopra si può scrivere

$$\vec{D} = \epsilon \vec{E} + i\epsilon_0 \vec{G} \times \vec{E} \quad \text{dove} \quad \vec{G} = \vec{\nabla} \vec{k} \quad \text{è il vettore gittorio}$$

- Notare che \vec{G} dipende dal vettore l'onda \vec{k}
- Nei mezzi otticamente attivi \vec{D} e \vec{E} non sono paralleli visto che $\vec{G} \times \vec{E}$ è \perp ad \vec{E} .
- Prendiamo ora un'onda che ci propone lungo z , quindi $\vec{k} = (0, 0, k)$ e $\vec{G} = \vec{\nabla} \vec{k} = (0, 0, G)$

Si ha $\vec{G} \times \vec{E} = \text{det} \begin{vmatrix} \hat{x} & \hat{y} & \hat{z} \\ 0 & 0 & G \\ E_1 & E_2 & 0 \end{vmatrix} = -GE_2\hat{x} + GE_1\hat{y}$

quindi l'equazione $\vec{D} = \epsilon \vec{E} + i\epsilon \vec{G} \times \vec{E}$ si può scrivere in forma matriciale

$$\begin{bmatrix} D_1 \\ D_2 \\ D_3 \end{bmatrix} = \begin{bmatrix} \epsilon & -iG & 0 \\ iG & \epsilon & 0 \\ 0 & 0 & \epsilon \end{bmatrix} \begin{bmatrix} E_1 \\ E_2 \\ E_3 \end{bmatrix} = \epsilon_0 \begin{bmatrix} u^2 & -iG & 0 \\ iG & u^2 & 0 \\ 0 & 0 & u^2 \end{bmatrix} \begin{bmatrix} E_1 \\ E_2 \\ E_3 \end{bmatrix} \quad \text{con } u^2 = \frac{\epsilon}{\epsilon_0}$$

- Prestiamo ora le due onde polarizzate circolari con $\vec{E}_+ = \begin{bmatrix} E_0 \\ E_0 \\ 0 \end{bmatrix}$ (RCP) e $\vec{E}_- = \begin{bmatrix} E_0 \\ -iE_0 \\ 0 \end{bmatrix}$ (LCP)

Si ha

$$\vec{D}_{RCP} = \epsilon_0 \begin{bmatrix} u^2 & -iG & 0 \\ iG & u^2 & 0 \\ 0 & 0 & u^2 \end{bmatrix} \begin{bmatrix} E_0 \\ E_0 \\ 0 \end{bmatrix} = \epsilon_0 \begin{bmatrix} u^2 + G \\ i(u^2 - G) \\ 0 \end{bmatrix} = (u^2 + G)\epsilon_0 E_0 \begin{bmatrix} 1 \\ i \\ 0 \end{bmatrix} = \epsilon_0 u_+^2 \vec{E}_+$$

$$\vec{D}_{LCP} = \epsilon_0 \begin{bmatrix} u^2 & -iG & 0 \\ iG & u^2 & 0 \\ 0 & 0 & u^2 \end{bmatrix} \begin{bmatrix} E_0 \\ -iE_0 \\ 0 \end{bmatrix} = \epsilon_0 \begin{bmatrix} u^2 - G \\ -i(u^2 + G) \\ 0 \end{bmatrix} = (u^2 - G)\epsilon_0 E_0 \begin{bmatrix} 1 \\ -i \\ 0 \end{bmatrix} = \epsilon_0 u_-^2 \vec{E}_-$$

Per $u_{\pm}^2 = u^2 \pm G$

- Si conclude che per le onde RCP e LCP il vettore \vec{D} è parallelo ad \vec{E} e che le onde RCP e LCP sono i modi normali di un mezzo otticamente simmetrico.

- Si noti che $G = \frac{1}{2}K = \frac{2\pi f}{\lambda_0}$ e $G = \left(\frac{n_+ + n_-}{2}\right)(n_+ - n_-) \propto (n_+ - n_-)$
quindi il vettore rotatorio $\vec{r} = \frac{\pi(n_+ - n_-)}{\lambda_0}$ e $\vec{r} \propto \frac{1}{\lambda_0^2}$

Se $G \ll u$ il vettore di rotazione è $\vec{r} \propto -\frac{\pi G}{\lambda_0 u}$

ATTIVITÀ MAGNETO-OTTICA - EFFETTO FARADAY

- Molti materiali agiscono su rotatori delle polarizzazioni in presenza di un campo magnetico statico \rightarrow **EFFETTO FARADAY**

- In questo caso il potere rotatorio è detto γ

$$\gamma = VB \quad \text{dove}$$

$V \rightarrow$ costante di Verdet

$B \rightarrow$ componente di \vec{B} nella direzione di propagazione dell'onda

L'angolo totale di rotazione è dato da

$$\theta = \gamma d = VBD$$

dove d è lo spessore di materiale attraversato

\rightarrow Il senso di rotazione è

dato dalla direzione di \vec{B}

NOTA BENE: Contrariamente al caso dei materiali otticamente attivi, nell'effetto Faraday la rotazione avviene sempre nello stesso verso relativamente a \vec{B} indipendentemente dalla direzione di propagazione

DAN SCHAFFER
FUNDAMENTALS OF OPTICS
WILEY, 2012

Figure 6.4-2 (a) Polarization rotation in a medium exhibiting the Faraday effect. (b) The sense of rotation is invariant to the direction of travel of the wave.

- Nei materiali magneto-ottici si ha che il tensore permeabilità dielettrica è alterato dalla presenza di un campo magnetico statico \vec{H} :

$$\mathcal{E} = \Sigma(\vec{H})$$

- L'effetto ha origine dall'interazione di \vec{H} con gli elettroni del metallo che si mettono in moto in rapporto al campo \vec{E} dell'onda luminosa

ESEMPIO DI COSTANTI DI VERDET

Magnetic materials	MO material	λ (nm)	V (rad Tm $^{-1}$)	Reference
Diamagnetic	Dense flint glass	505	33.6	Thamaphat et al. (2006)
		525	30.4	
YAG		632.8	5.86	Munin et al. (1992)
		514.5	9.13	
		501.7	9.67	
		496.5	9.9	
		488	10.27	
		476.5	10.78	
		472.4	11	
		465.8	11.36	
		457.9	11.82	
BK-7 glass		632.8	4.30	
		514.5	6.72	
		501.7	7.16	
		496.5	7.29	
		488	7.58	
		476.5	7.98	
		472.4	8.13	
		465.8	8.41	
		457.9	8.70	
Dynasil 1001		632.8	3.48	
		514.5	5.48	
		501.7	5.76	
		496.5	5.9	
		488	6.14	
		476.5	6.46	
		472.4	6.57	
		465.8	6.57	
		457.9	6.79	

Per l'effetto Faraday si ha dunque

$$\vec{D} = \epsilon \vec{E} + i \epsilon_0 \vec{G} \times \vec{E}$$

$$\text{dove viene } \vec{G} = \gamma_B \vec{B} = \gamma_B H \quad \begin{array}{l} \text{campo magnetico} \\ \text{intensità} \\ \text{coefficiente} \\ \text{magnetooptico} \end{array}$$

Si noti che \vec{E} non dipende da H in questo caso, e quindi invertendo la direzione di propagazione attraverso il mezzo il verso di rotazione del piano di polarizzazione rimane inviato.

Nel caso dell'effetto Faraday il potere rotatorio è

$$\text{dato da } \epsilon \vec{E} - \frac{-\pi \epsilon_0}{\lambda n} = -\frac{\pi \gamma_B B}{\lambda n} - V B$$

cioè $V = -\frac{\pi \gamma_B}{\lambda n}$, la costante di Verdet dipende da λ .

ESEMPI DI DISPOSITIVI POLARIZZANTI

POLARIZZATORI

Polarizzazione per annullamento relativo o DICROISMO

In SALVANT-BUCH
"FUNDAMENTALS OF PHOTONICS"
WILEY, 2023

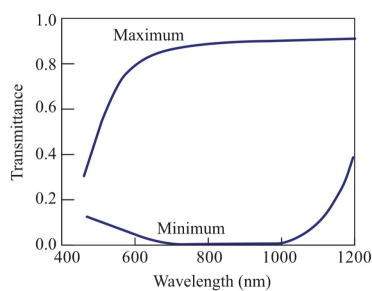
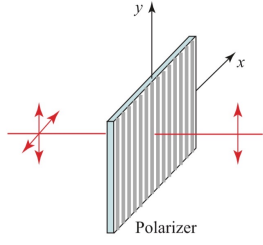


Figure 6.6-1 Power transmittances of a typical dichroic polarizer with the plane of polarization of the light aligned for maximum and minimum transmittance, as indicated.

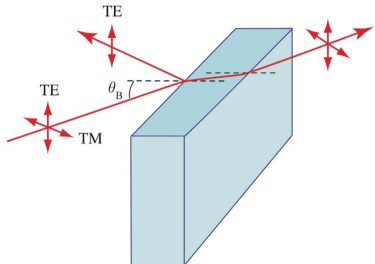
Principio base

Il mezzo snorte solo una delle due polarizzazioni lineari ortogonali

Esempio: leste "Polaroid"

Polarizzazione per riflessione all'angolo di Brewster

248 CHAPTER 6 POLARIZATION OPTICS



Principio base

Riflessione & Frenet all'angolo di Brewster.

Figure 6.6-2 The Brewster-angle polarizer.

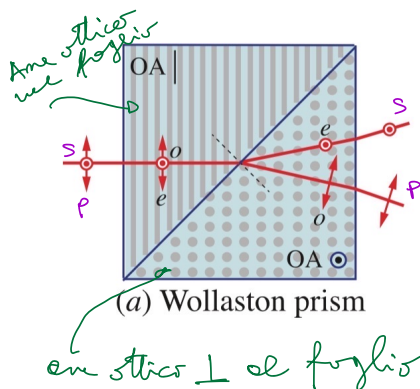
Polarizzazione per riflessione nei mesi anisotropi

Principio base

All'ingresso in un mezzo otticamente anisotropo, il raggio ordinario e quello straordinario si rifrangono ad angoli differenti e quindi si separamo. Tuttavia essi sono polarizzati ortogonalmente -

Esempio

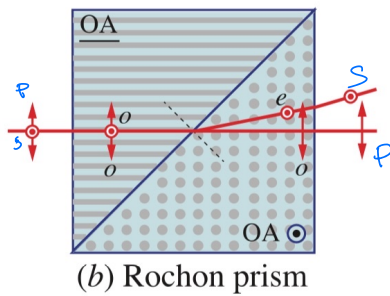
PBS → Polarizing Beam Splitters
consistono di due prismi di materiali anisotropi incollati fra loro.



- Prisma di Wollaston (uso minore)

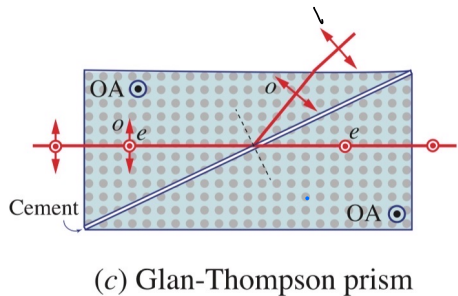
la componente p (parallela al piano d'incidenza) è straordinaria nel primo cristallo e ordinaria nel secondo, viceversa per le componenti s . Nel primo cristallo p e s viaggiano insieme per l'incidente monale, non si separano per la rifrazione

Prisme di Rochon



- la componente P è ordinaria in entrambi i cristalli, per cui si tratta semplicemente di riflessione.
- la componente S è ordinaria nel primo cristallo e straordinaria nel secondo, per cui si rifrange e si spezza

Prisme Glan-Thompson



- la polarizzazione P è ordinaria nel primo cristallo ed S è straordinaria, con $n_o > n_e$
- la polarizzazione P incide all'angolo critico, per cui subisce riflessione totale, mentre la componente S è trasmessa perché in uscita con $n_e < n_o$ e quindi ha un angolo critico maggiore

LAMINE RITARDANTI

- Le lamine ritardanti si utilizzano per convertire una polarizzazione in un'altra.

Esempio qui visto: lamina $\lambda/4$ e lamina $\lambda/2$

- Sono realizzate di solito a partire da cristalli unidropici

Se $n_1 < n_2$, x è l'una veloce



$$\Gamma = \frac{(n_2 - n_1) \text{ Kod}}{\lambda} = \frac{2\pi(n_2 - n_1)}{\lambda}$$

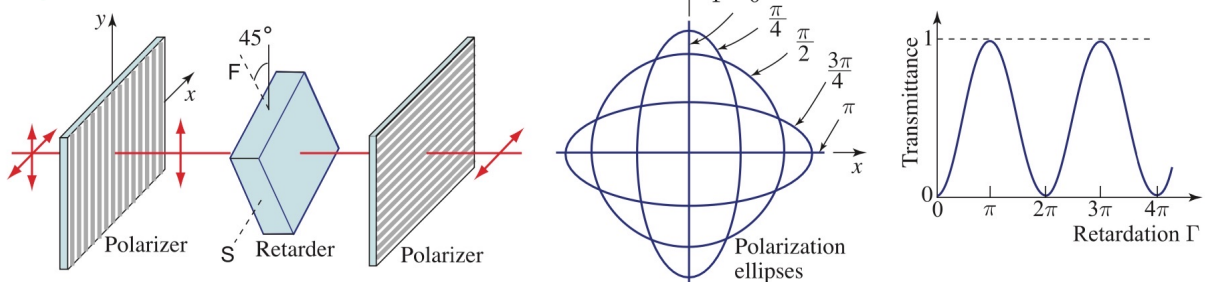


Figure 6.6-4 Controlling light intensity by means of a wave retarder with variable retardation Γ placed between two crossed polarizers.

ROTATORI

- Possi ottimamente ottenere messi magnetostatici in posso
zione per rotolare le polarizzazioni della luce -
- Un rotatore L' Faraday, ad esempio può
essere posizionato tale sue polarizzazioni incrociate
in modo da controllare l'intensità trasmessa
mediante un campo magnetico -

DISPOSITIVI POLARIZZANTI NON RECIPROCI

- Se l'effetto di un dispositivo nella polarizzazione è
invertito rispetto all'inversione della direzione di
propagazione, allora il dispositivo si dice
reciproco, altrimenti non-reciproco -
- Esempi di dispositivi non-reciproci

I SOLATORI DI FARADAY

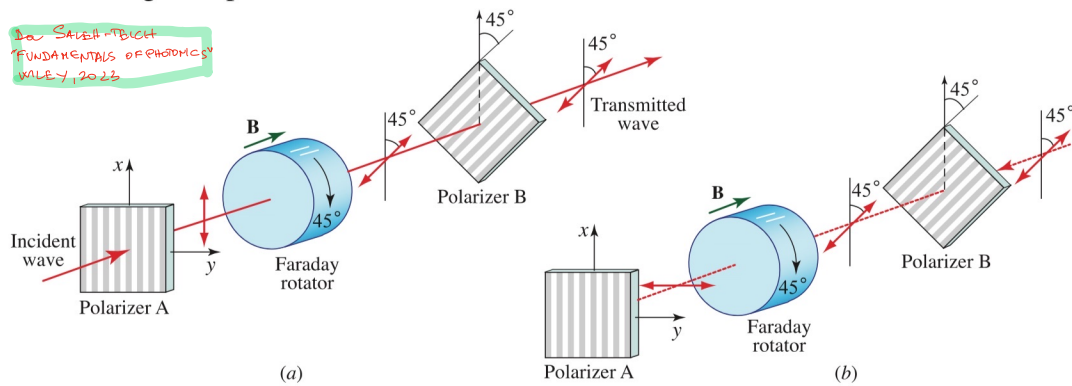


Figure 6.6-5 An optical isolator that makes use of a Faraday rotator transmits light in one direction. (a) A wave traveling in the forward direction is transmitted. (b) A wave traveling in the backward (or reverse) direction is blocked.

ROTATORIB NON RECIPROCO

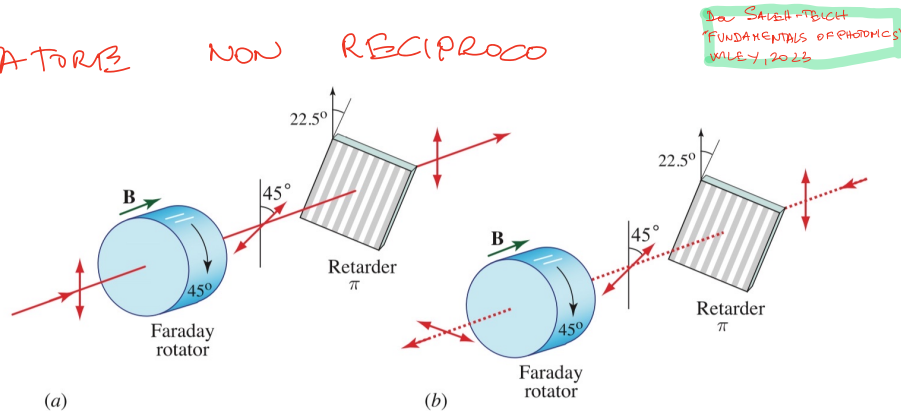


Figure 6.6-6 A Faraday rotator followed by a half-wave (π) retarder is a nonreciprocal device that: (a) maintains the polarization state of a linearly polarized forward-traveling wave, but (b) rotates the plane of polarization of the backward-traveling wave by 90° .